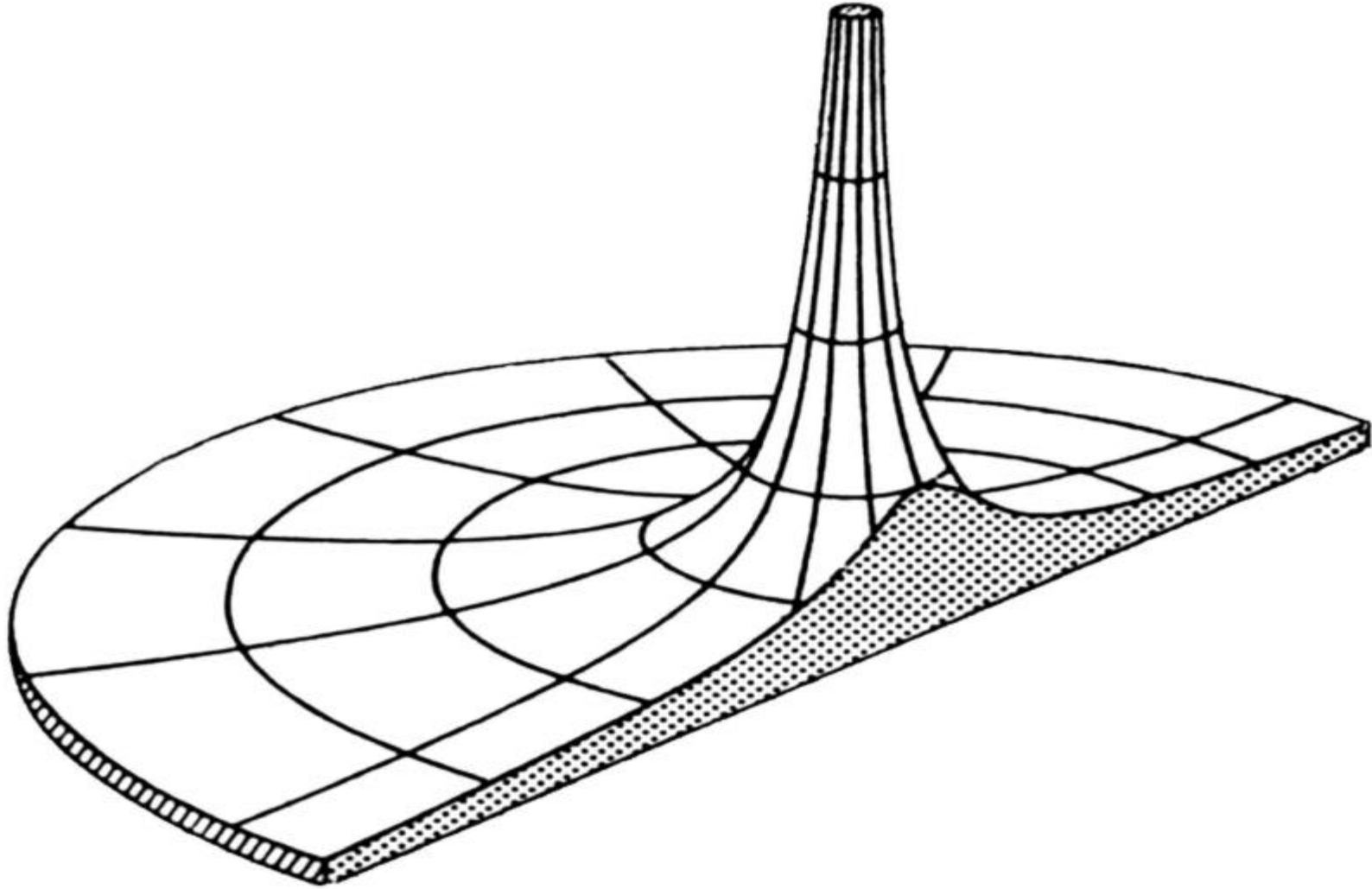


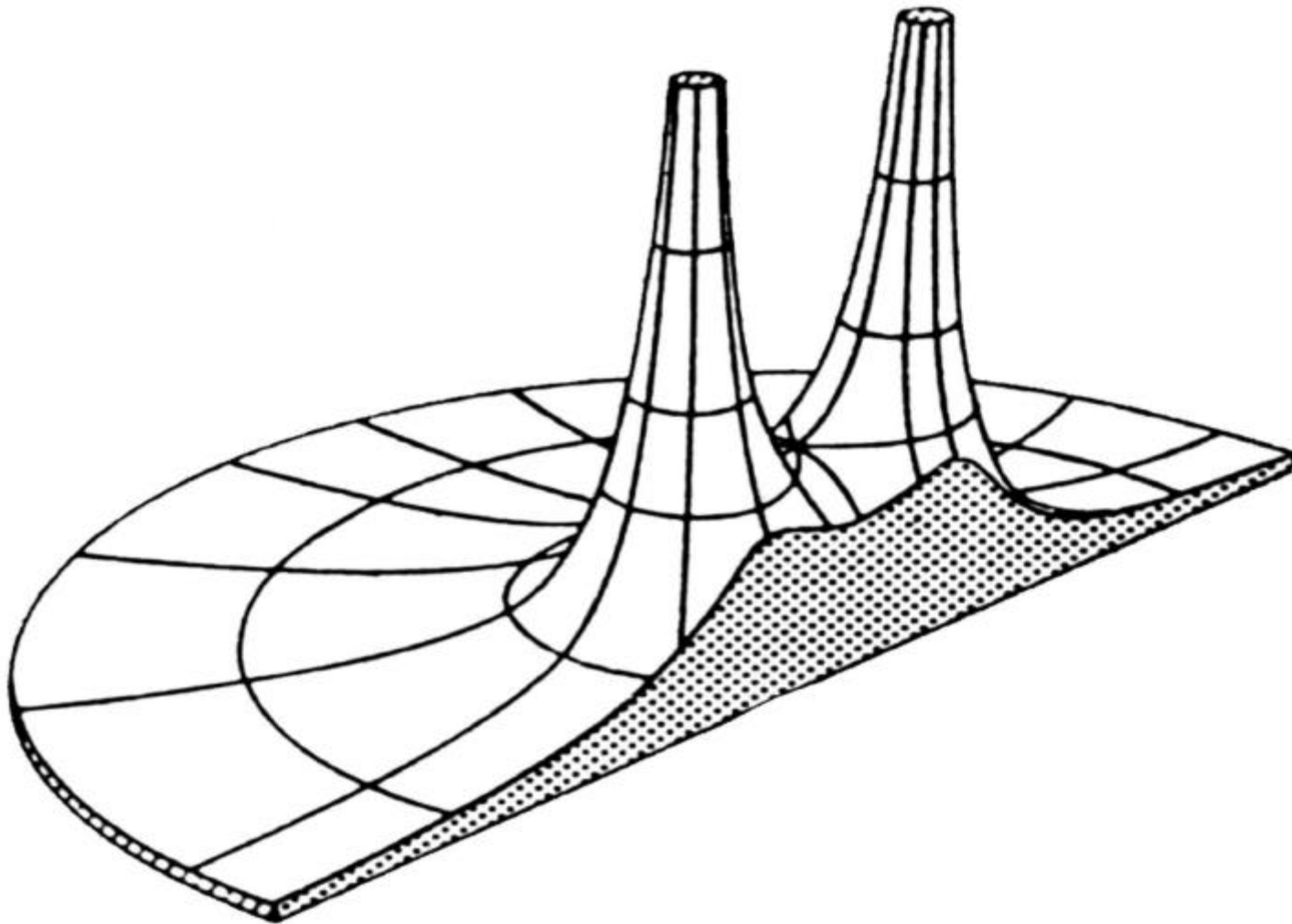
Etude expérimentale des transmittances

Représentation 3D cas d'un pôle réel (1^{er} Ordre)



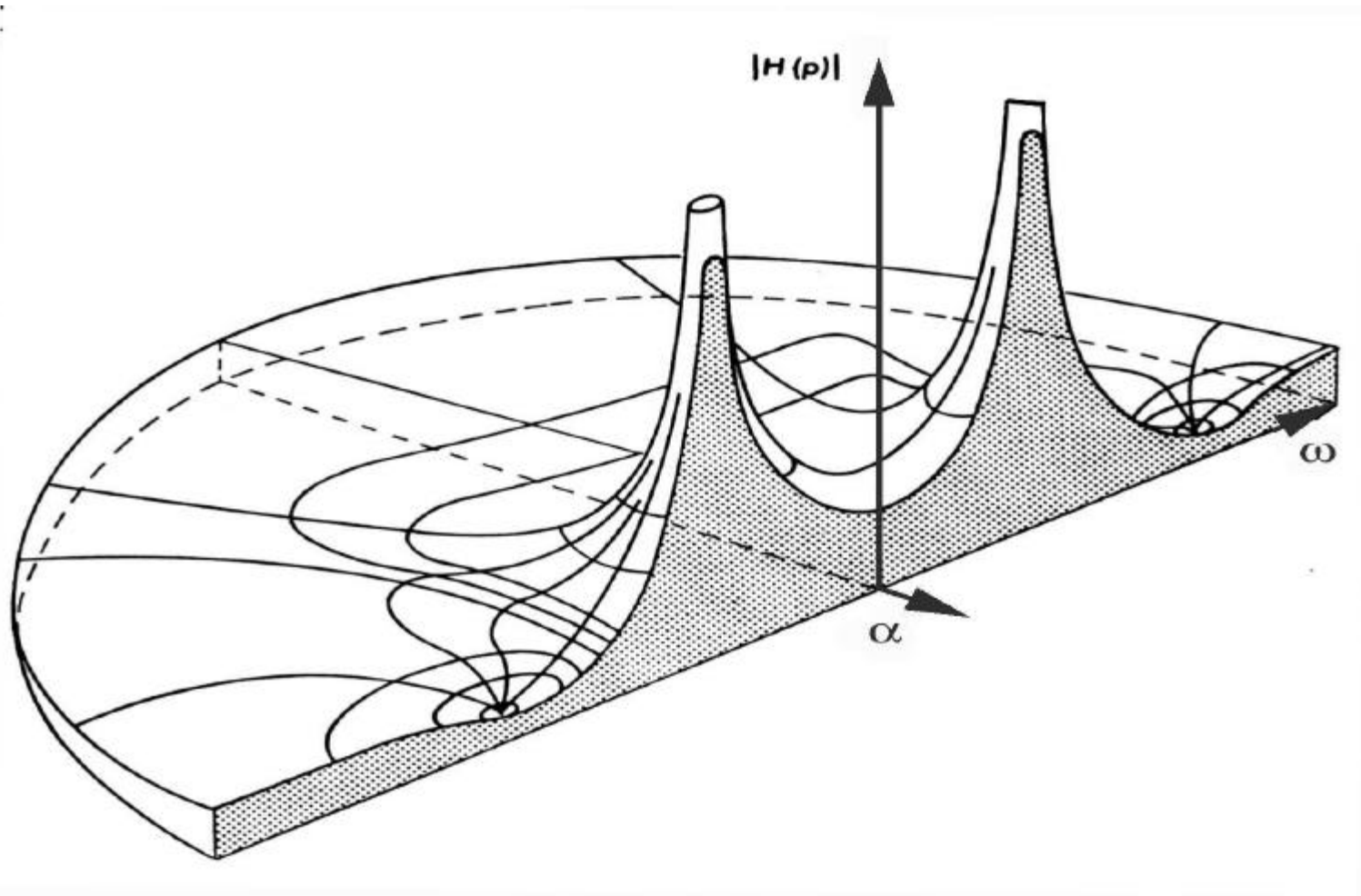
Etude expérimentale des transmittances

Représentation 3D cas de 2 pôles imaginaires



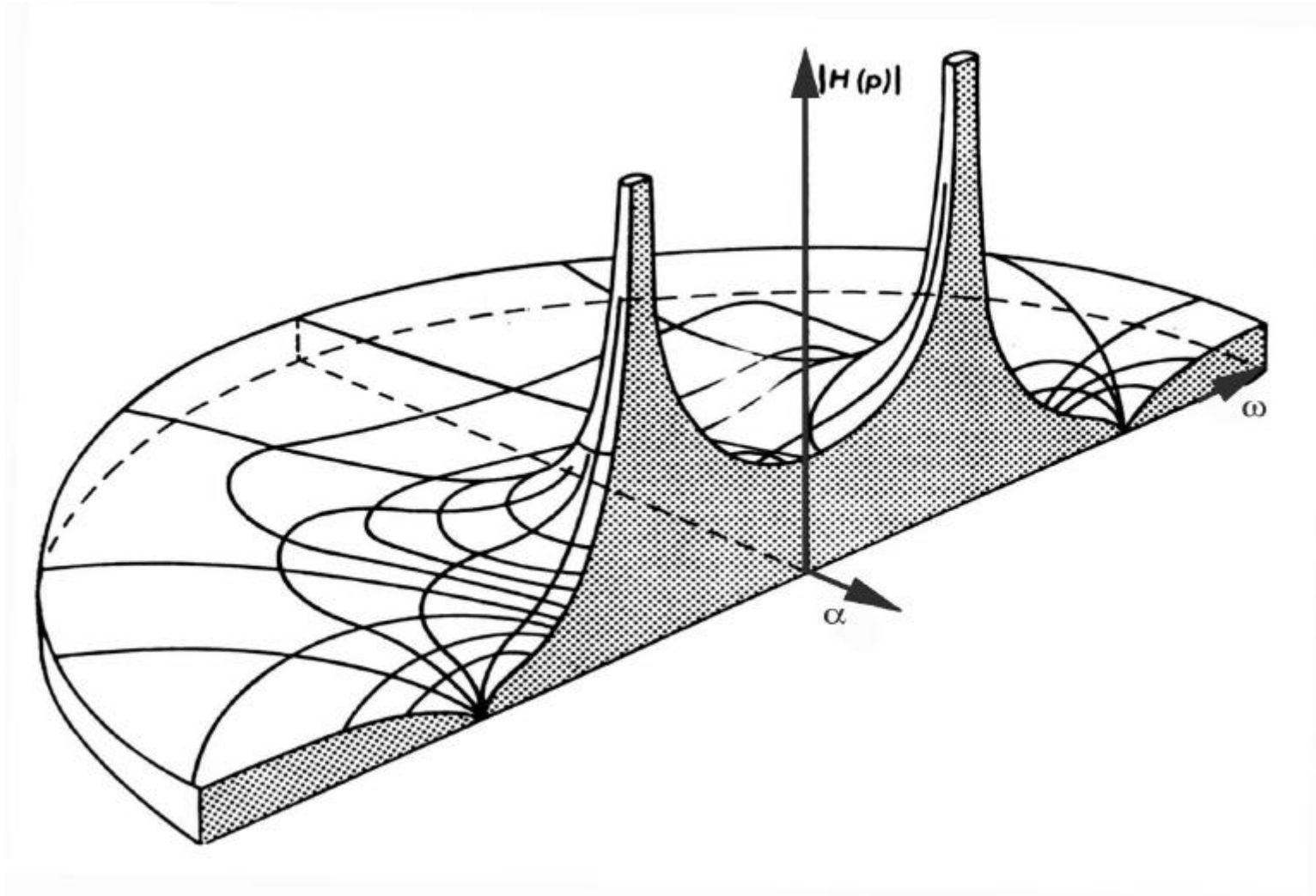
Etude expérimentale des transmittances

Représentation 3D cas de 2 pôles et 2 zéros imaginaires dont la partie réelle est négative à faible valeur absolue



Etude expérimentale des transmittances

Représentation 3D cas de 2 pôles et 2 zéros imaginaires purs



Etude expérimentale des transmittances

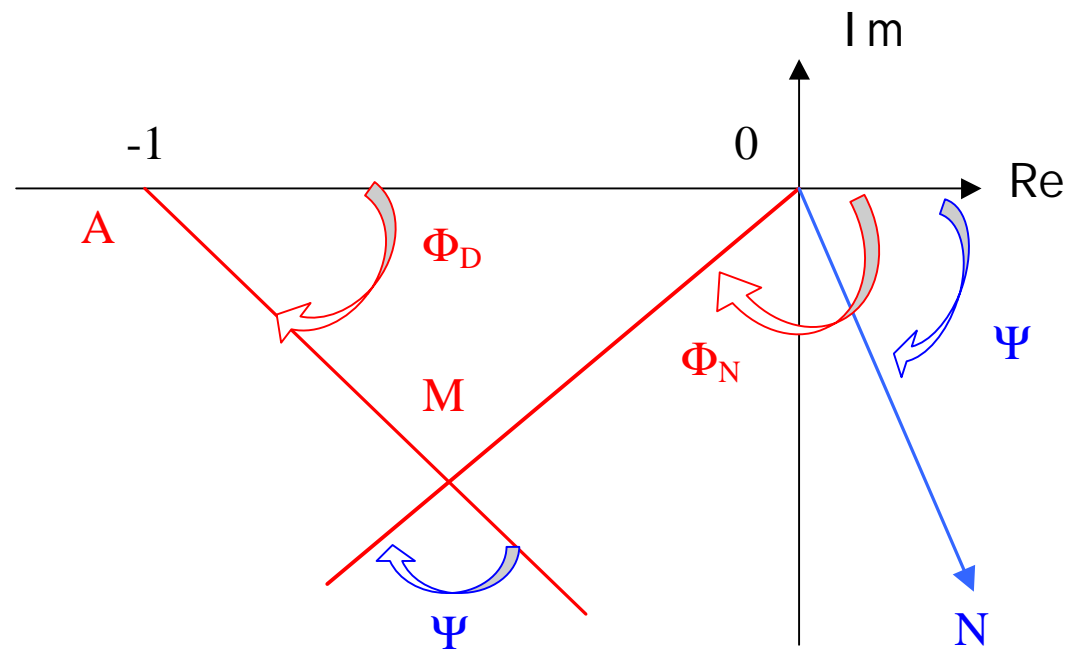
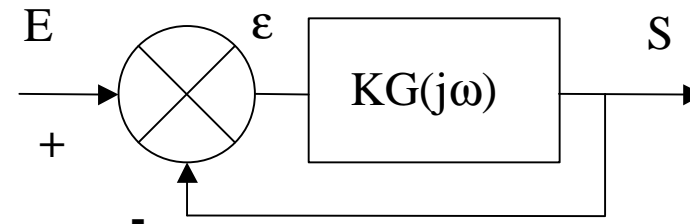
Etude fréquentielle

3 – Représentations de la transmittance isochrone en chaîne fermée à partir de la transmittance isochrone en chaîne ouverte

\vec{OM} représente $KG(j\omega)$
 d'argument $\Phi_N = (\vec{Ox}, \vec{OM})$

\vec{AM} représente $1+KG(j\omega)$
 d'argument $\Phi_D = (\vec{Ox}, \vec{AM})$

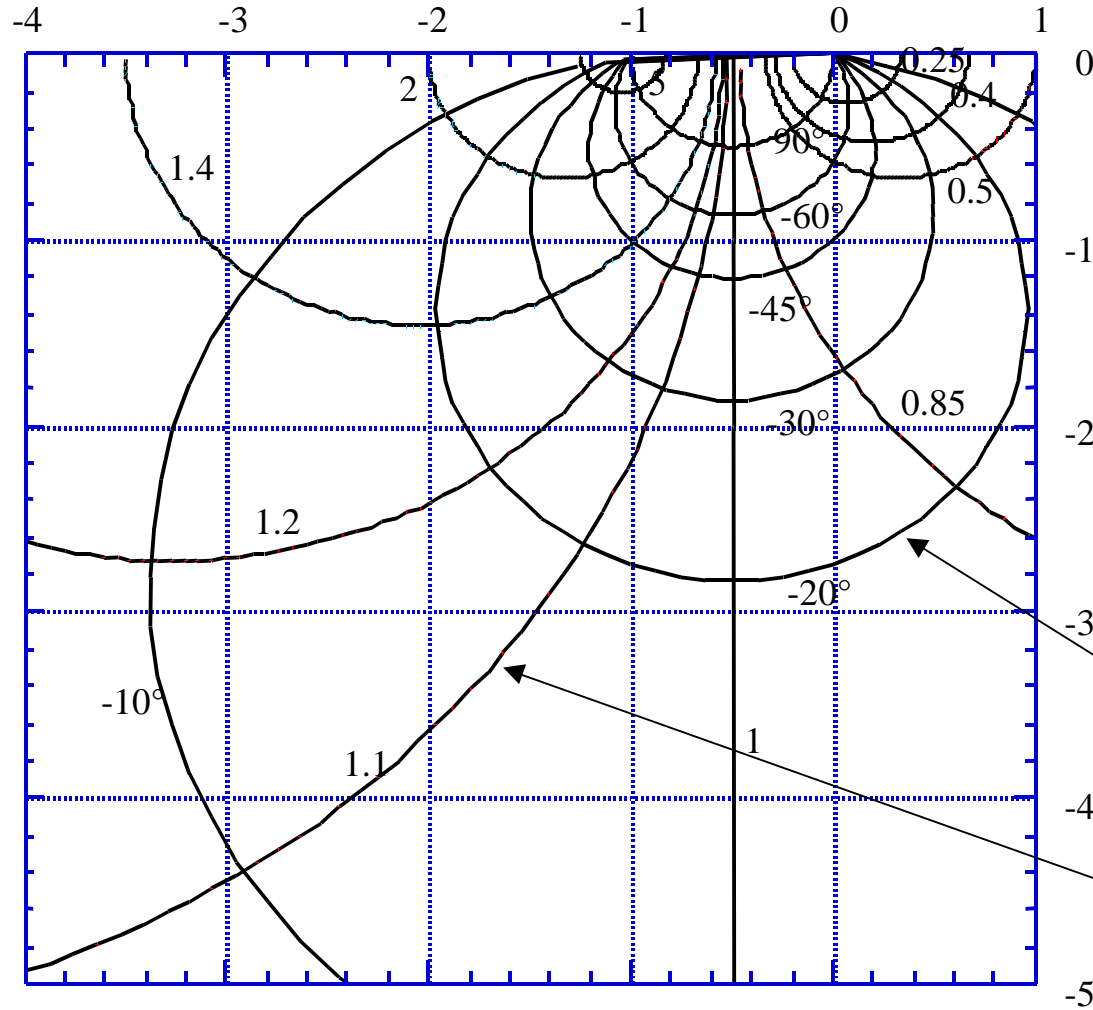
\vec{ON} représente $|H(j\omega)|$
 d'argument $\Psi = (\vec{AM}, \vec{OM})$



Etude expérimentale des transmittances

4 – Détermination des propriétés en chaîne fermée

Abaque de Hall



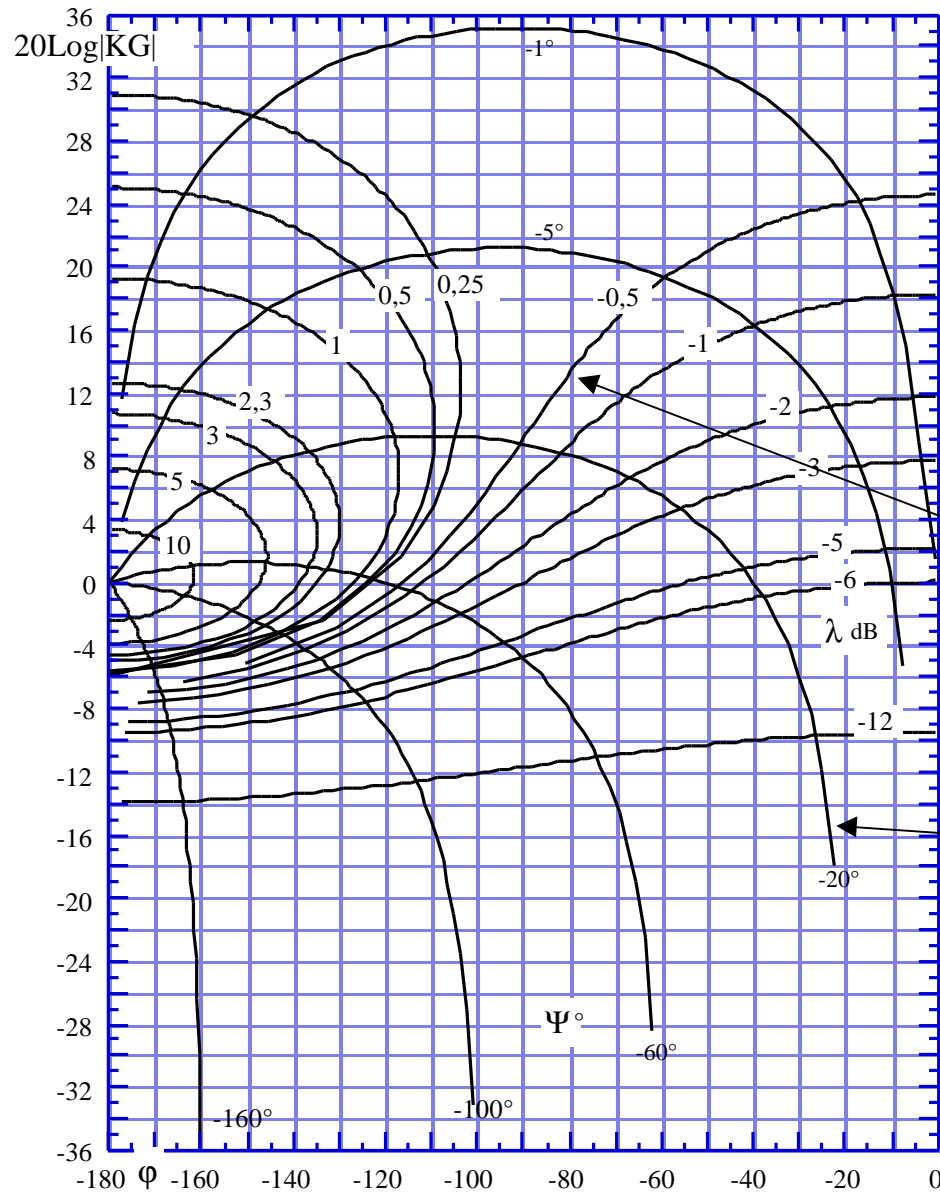
$$|H(j\omega)| = \frac{|\vec{OM}|}{|\vec{AM}|} = \mathbf{1} = cte$$

$$(\vec{AM}, \vec{OM}) = \Psi = cte$$

Contours de phase

Contours d'amplitude

Etude expérimentale des transmittances



Abaque de Black

$20.\log_{10}\lambda$ (dB)

ψ en degré

Contours d'amplitude

Contours de phase